

довую ($\text{Sp} B_\mu = 0$) эрмитову матрицу 3×3 в цветовом пространстве [реализует присоединённое представление группы $SU(3)_c$], а I — единичная матрица в этом же пространстве.

Тензор напряжённости глюонного поля $G_{\mu\nu}$ строится аналогично электродинамике, но с помощью ковариантной производной (1):

$$G_{\mu\nu} = \frac{1}{ig} [D_\mu, D_\nu]_- = \partial_\mu B_\nu - \partial_\nu B_\mu - ig [B_\mu, B_\nu]_- \quad (2)$$

(скобки $[\dots, \dots]_-$ означают коммутатор), т. е. он нелинейно выражается через потенциалы. Это приводит к нелинейным ур-ниям для глюонных полей (т. н. Янга — Миллса уравнениям), к-рые можно записать как

$$\partial_\mu G_{\mu\nu}(x) = - [j_\nu^{KB}(x) + j_\nu^{GL}(x)] \quad (3)$$

(здесь и ниже по дважды встречающемуся индексу предполагается суммирование); наряду с кварковым источником глюонных полей — плотностью кваркового тока j_ν^{KB} — они содержат плотность глюонного тока $j_\nu^{GL} = -ig[B_\mu, G_{\mu\nu}]_-$, нелинейно зависящую от глюонных полей, не имеющую аналога в электродинамике (где компоненты эл.-магн. поля — простые, нематричные ф-ции от x и коммутатор обращается в нуль).

Интегралы $Q = \int d^3x (j_\nu^{KB} + j_\nu^{GL})$ образуют матрицу аддитивного цветового заряда. В квантовой теории цветовыми зарядами, характеризующими состояние кварк-глюонной системы, наз. собств. значения взаимно коммутирующих операторов этой матрицы. Их числовые величины определяются константой взаимодействия g . Соответствующая ур-ниям движения (3) плотность ф-ции Лагранжа в хромодинамике имеет вид

$$L = \sum_f \bar{q}_f(x) (i\gamma_\mu D_\mu - m_f) q_f(x) - \frac{1}{2} \text{Sp} (G_{\mu\nu} G_{\mu\nu}), \quad (4)$$

где γ_μ — Дирака матрицы, $q_f = \{q_f^\alpha\}$ — кварковое поле Дирака аромата f , представляющее собой столбец в цветовом пространстве, а m_f — т. н. токовая масса кварка данного аромата (черта сверху означает дираковское сопряжение).

Матрицы B_μ , $G_{\mu\nu}$ могут быть разложены по восьми генераторам группы $SU(3)$ в фундам. представлении $1/2 \lambda_a^a$, напр.

$$B_\nu^{\alpha\beta} = \frac{1}{2} \lambda_{\alpha\beta}^a B_\nu^a, \quad a = 1, 2, \dots, 8, \quad (5)$$

где $\lambda_{\alpha\beta}^a$ — Гелл-Мана матрицы 3×3 .

Квантование и диаграммы Фейнмана. Последовательные квантования в КХД пока нет. Обычно используемое квантование кварковых и глюонных полей проводится во взаимодействии представлении для свободных полей, и в этом отношении оно формально не отличается от квантования в КЭД. Ясно, однако, что такая операция в КХД незаконна из-за отсутствия свободных кварков и глюонов. Она приводит к неустраняемым инфракрасным расходимостям в теории возмущений. Устранение этого дефекта в аппарате теории и разработка непротиворечивой процедуры квантования, по видимому, тесно связаны с ненайденным пока решением проблемы удержания цвета.

Др. особенность квантования КХД — более сложный способ исключения нефизич. продольных полей потенциала B_μ при использовании ковариантного условия калибровки $\partial_\mu B_\mu = 0$. В отличие от КЭД, где продольная часть поля $\eta(x) = \partial_\mu A_\mu(x)$ подчиняется свободному ур-нию движения (т. е. соответствующие ей « η -частицы» не могут рождаться, если их не было в нач. состоянии), ур-ние для η -полей в КХД оказывается нелинейным и глюонное поле B_μ может породить η -частицы. Для устранения их в нач. и конечном состояниях достаточно наложить на глюоны в этих

состояниях условие поперечности: $\eta^{\text{нач}} = \eta^{\text{кон}} = 0$. Однако это не устраняет η -частицы из вакуумных флуктуаций (глюонных петель), что приводит к нарушению условия унитарности.

Способ устранения нефизич. полей результативно сводится к введению дополнит. октета фиктивных скалярных полей $\Phi(x)$ — т. н. полей Фаддеева — Попова духов, к-рые удовлетворяют тому же ур-нию, что и η -поля, но квантуются по Ферми — Дирака статистике (антикоммутируют). Это приводит к тому, что в соответствии с правилами Фейнмана (см. Фейнмана диаграммы) каждой замкнутой петле духов следует приписывать множитель -1 . Т. о., на каждую η -петлю появляется Φ -петля, к-рая её компенсирует. При строгом подходе, т. е. при квантовании функционального интеграла методом, поля духов появляются автоматически как следствие условий калибровки.

Существуют, однако, условия калибровки, при к-рых духи Фаддеева — Попова не появляются. К ним относятся, напр., т. н. аксиальные калибровки $n_\mu B_\mu = 0$ (или $B_0 = 0$) и фоковская калибровка $(x - x_A)_\mu B_\mu(x) = 0$, где n_μ — произвольный постоянный 4-вектор, x_A — фиксированная точка пространства-времени. Проприетарная глюона в этих калибровках оказывается релятивистски инвариантным, т. к. зависит от выбора либо n_μ , либо x_A . Однако в окончат. выражениях для физической измеряемых величин эта зависимость пропадает.

Наиболее существен. отличие диаграмм Фейнмана теории возмущений в КХД (по сравнению с КЭД) — наличие в них (кроме кварк-глюонной вершины; рис. 2, а) трёхглюонных, четырёхглюонных и дух-глюонных вершин (рис. 2, б, в, г). Правила Фейнмана позволяют вычислять любые процессы с участием кварков и глюонов. Однако, как и в КЭД, интегралы по импульсам виртуальных частиц оказываются бесконечными, расходимыми при больших или малых импульсах (ультрафиолетовые расходимости и ИК-расходимости).

ИК-расходимости фактически обходят тем, что при расчётах процессов с участием адронов всегда рассмат-

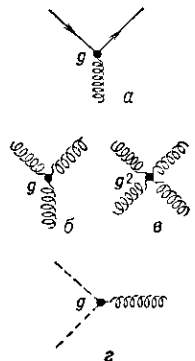


Рис. 2. Вершины диаграмм Фейнмана в КХД. Сплошные линии изображают кварки, спиральные — глюоны, пунктирные — духи Фаддеева — Попова; g — константа взаимодействия.

ривают кварк-глюонные (партонные) подпроцессы (см. ниже), происходящие на малых расстояниях (меньших размера адронов), т. е. к.-л. образом регуляризованные (напр., обрезанные) в области малых импульсов (см. Регуляризация расходимостей). Зависимость же сечений подпроцесса от параметра ИК-регуляризации выделяется в виде сомножителей и включается в волновые ф-ции адронов, рассматриваемые как феноменол. (невывислимые) элементы схемы (свойство факторизации; см. ниже).

Для борьбы с УФ-расходимостями применяются стандартные способы регуляризации и перенормировки в КТП (чаще всего т. н. размерной регуляризации, сохраняющей калибровочную симметрию). Напр., все УФ-расходимости в глюонном пропагаторе типа рис. 3 собираются в константу ренормировки глюонных полей. Точно так же расходимости в пропагаторах кварков и духов собираются в добавку к массе кварка (массы глюона и духа вследствие калибровочной инвариантности не перенормируются) и в константы ренормировки кваркового и духового полей, а расходимости вершинных частей кварк-глюонной, трёх- и четырёх-глюонной и дух-глюонной — в константы ренормировки заряда. Др. УФ-расходимостей КХД не содержит.